

# Лабораторная работа 5.2

## Интерференция света. Бипризма Френеля.

Жарков Андрей 495

22 апреля 2017 г.

**Цель работы:** изучить интерференцию света на примере опыта с бипризмой Френеля, определить преломляющий угол бипризмы по отклонению луча лазера и по характеристикам интерференционной картины.

**Принадлежности:** полупроводниковый лазер, кювета, одна из стенок которой представляет собой бипризму Френеля, короткофокусная линза, экран для наблюдения, линейка.

### Теория.

#### Интерференция.

Период оптических колебаний – величина столь малая, что ни человеческий глаз, ни фотоприборы не регистрируют мгновенные значения электрического и магнитного поля. Наблюдаемая нами величина «яркости» точки изображения на экране пропорциональна усреднённой за какой-то период квадрату напряжённости электрического поля в этой точке. Её принято называть интенсивностью  $I = \overline{E^2}$ .

Пусть есть два пучка света, характеризуемые напряжённостями электрического поля  $\vec{E}_1$  и  $\vec{E}_2$  в некоторой пространственной точке. По принципу суперпозиции результирующей двух этих пучков в какой-либо точке пространства является векторная сумма

$$\vec{E} = \vec{E}_1 + \vec{E}_2.$$

Интенсивность света в данной точке

$$I = \overline{(\vec{E}_1 + \vec{E}_2)^2} = \overline{E_1^2} + 2\overline{(\vec{E}_1 \vec{E}_2)} + \overline{E_2^2} = I_1 + I_2 + I_{12}.$$

Слагаемые  $I_1$  и  $I_2$  в правой части – интенсивности пучков 1 и 2, соответственно. Слагаемое  $I_{12}$  называется *интерференционным членом*. В случае, если пучки света независимы, усреднение по времени приводит к обращению в нуль этого члена. В случае если пучки не независимы, то интерференционный член может быть отличен от нуля, и такие пучки называют когерентными.

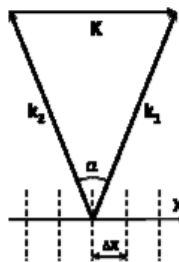


Рис.1

Рассмотрим две плоские монохроматические перекрывающиеся волны с волновыми векторами  $\vec{k}_1$  и  $\vec{k}_2$  (Рис.1). При этом

$$k_1 = k_2 = k = \frac{2\pi}{\lambda}, \quad k_{1,x} = k \cdot \sin(\alpha/2), \quad k_{2,x} = -k \cdot \sin(\alpha/2).$$

Здесь  $\alpha$  – угол схождения плоских волн. Будем считать, что векторы напряженностей этих волн имеют только одну ненулевую компоненту перпендикулярную плоскости рисунка. Тогда для этих компонент можно записать

$$E_1 = a_1 \cos(\omega t - \vec{k}_1 \vec{r} + \delta_1), \quad E_2 = a_2 \cos(\omega t - \vec{k}_2 \vec{r} + \delta_2),$$

здесь  $\omega$  – циклическая частота волн.

Допустим, что  $\delta_1 = \delta_2$ . Тогда для разности фаз колебаний этих волн в некоторой точке получаем

$$\Delta\varphi = (\vec{k}_1 - \vec{k}_2) \vec{r} + (\delta_2 - \delta_1) = 2k \cdot \sin(\alpha/2) \cdot x.$$

Теперь выражение для результирующей интенсивности колебаний примет вид

$$I = I_1 + 2\sqrt{I_1 I_2} \cos(\Delta\varphi) + I_2 = I_1 + 2\sqrt{I_1 I_2} \cdot \cos(2k \cdot \sin(\alpha/2) \cdot x) + I_2.$$

Из этого выражения следует, что интерференционный максимум интенсивности достигается в тех точках пространства, в которых выполняется условие

$\Delta\varphi = 2\pi m$ ,  $m = 0, \pm 1, \pm 2, \dots$ . Интерференционный минимум интенсивности достигается в тех точках пространства, в которых выполняется условие  $\Delta\varphi = \pi(2m+1)$ ,  $m = 0, \pm 1, \pm 2, \dots$ .

Допустим, что плоский экран для наблюдения интерференционной картины располагается перпендикулярно плоскости рисунка 1 так, что ось X лежит в его плоскости. Тогда в плоскости экрана будет наблюдаться периодическое изменение интенсивности от  $I_{\max} = (\sqrt{I_1} + \sqrt{I_2})^2$  до  $I_{\min} = (\sqrt{I_1} - \sqrt{I_2})^2$ . При равных интенсивностях волн  $I_1 = I_2 = I_0$

$$I(x) = I_0 \left( 1 + \cos(2k \cdot \sin(\alpha/2) \cdot x) \right) = I_0 \left( 1 + \cos\left(\frac{2\pi}{\Lambda} x\right) \right),$$

т.е. на экране будут наблюдаться темные и светлые параллельные полосы. Как видно из этого выражения, период интерференционной картины  $\Lambda$  (ширина интерференционной полосы) зависит от длины волны излучения  $\lambda$  и угла  $\alpha$  схождения волн (см. рис.1)

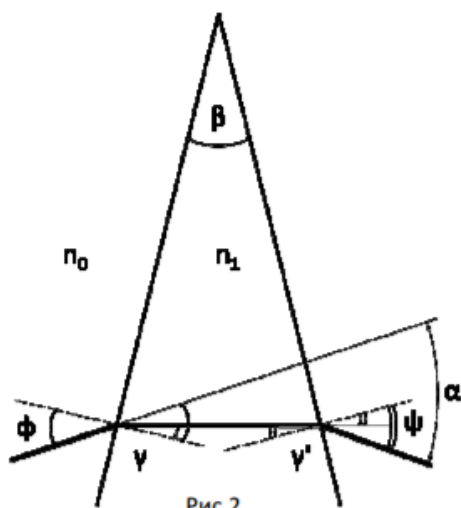
$$\Lambda = \frac{\lambda}{2 \sin(\alpha/2)} \approx \frac{\lambda}{\alpha}, \quad (1)$$

где последнее выражение получено для малых углов схождения.

### О когерентности волн

Реальные световые волны не являются строго монохроматическими. Допустимо считать, что реальный источник испускает волны цугами (отрезками синусоид) длительностью  $\tau$ . Цуги имеют пространственную длину  $l = c\tau$ , где  $c$  - скорость света. В течение этого цуга фаза волны остается постоянной. Таким образом, реальная световая волна представляет собой последовательность волновых цугов с беспорядочно изменяющейся от цуга к цугу фазой. Принято говорить, что колебания в разных цугах некогерентны. Интервал времени  $\tau$  называют *временем когерентности*, а величину  $l$  - длиной когерентности.

Интерференция может возникнуть только при сложении когерентных колебаний, т.е. колебаний относящихся к одному цугу. В этом случае наблюдается устойчивая интерференционная картина. Таким образом, для получения интерференции света нужно волну от источника разделить на две когерентные волны и затем на экране наблюдать результат их сложения. При этом разность хода  $\Delta$  волн до точки наблюдения не должна превышать длину когерентности  $l$ . Одной из оптических схем для наблюдения интерференции является схема с бипризмой Френеля (см. далее).



### Отклонение луча бипризмой.

Рассмотрим ход луча, распространяющегося в среде с показателем преломления  $n_0$ , и встречающего на своём пути клин из прозрачного материала с показателем преломления  $n_1$  ( $n_1 > n_0$ ) с малым преломляющим углом  $\beta$  (см. рис. 2.).

Пусть луч падает на клин под углом  $\phi$  с нормали к поверхности. Тогда направление распространения преломлённого луча мы можем найти, пользуясь законом Снеллиуса:

$$n_0 \sin \phi = n_1 \sin \gamma,$$

где  $\gamma$  - угол, образованный прошедшим лучом с нормалью к преломляющей поверхности. Далее, если материал клина однороден, луч

распространяется прямолинейно, пока не встретит вторую границу раздела сред. Для неё можем записать:

$$n_1 \sin \gamma' = n_0 \sin \psi.$$

Связь углов  $\gamma$  и  $\gamma'$  найдём из треугольника, образованного вершиной клина и точками преломления луча на границе раздела сред:

$$\beta = \gamma + \gamma'.$$

Для малых углов падения и преломления связь углов  $\phi$  и  $\psi$  примет простое выражение:

$$\phi + \psi = \frac{n_1}{n_0} \beta.$$

Рассмотрим, на какой угол луч отклонится от своего первоначального направления. Обозначим  $\alpha$  угол между падающим и прошедшим лучом. На первой поверхности луч отклонится от линии своего направления распространения к более широкой части клина на угол  $\phi - \gamma$ , на второй – на угол  $\psi - \gamma'$ . Полный поворот луча в сторону широкой части клина составит

$$\alpha = (\phi - \gamma) + (\psi - \gamma') = (\phi + \psi) - (\gamma + \gamma') = \left( \frac{n_1}{n_0} - 1 \right) \cdot \beta.$$

Таким образом, при условии малости углов, угол отклонения  $\alpha$  не зависит от угла падения, но только от материала клина и угла между плоскостями его образующими. В случае, когда внешней средой является воздух  $n_0 = 1$ , получаем

$$\alpha = (n - 1) \beta. \quad (2)$$

#### **Бипризма Френеля.**

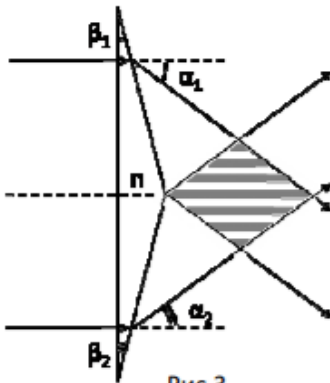


Рис.3

Как было сказано ранее, для наблюдения интерференции необходимо получить когерентные пучки света. Один из способов их получения - использование бипризмы Френеля.

Бипризма Френеля представляет собой две стеклянные призмы с малыми преломляющими углами  $\beta_1$  и  $\beta_2$ , сложенные своими основаниями (см. рис.3). Практически она изготавливается из целого куска стекла. Плоская волна, проходя через бипризму, разделяется на две когерентных плоских волны, распространяющихся под углом  $\alpha = \alpha_1 + \alpha_2$  друг к другу (угол схождения волн).

#### **Описание элементов экспериментальной установки и схем их расположения при проведении измерений**

На рис.4 показано поперечное сечение кюветы, одна из прозрачных стенок которой представляет собой бипризму Френеля с преломляющими углами  $\beta_1$  и  $\beta_2$ .

На рис.6 показана оптическая схема для определения угла  $\alpha$  схождения (расхождения) лазерных пучков, возникших после преломления исходного лазерного пучка в бипризме Френеля. Как видно из рисунка, для малого угла  $\alpha$  имеем

$$\alpha \approx \tan \alpha = \frac{x_1 + x_2}{L}. \quad (3)$$

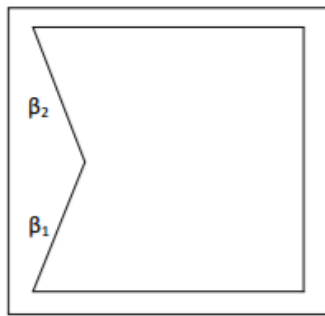


Рис.4

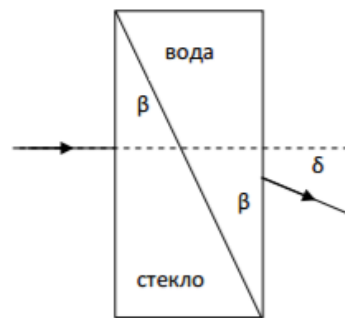


Рис.5

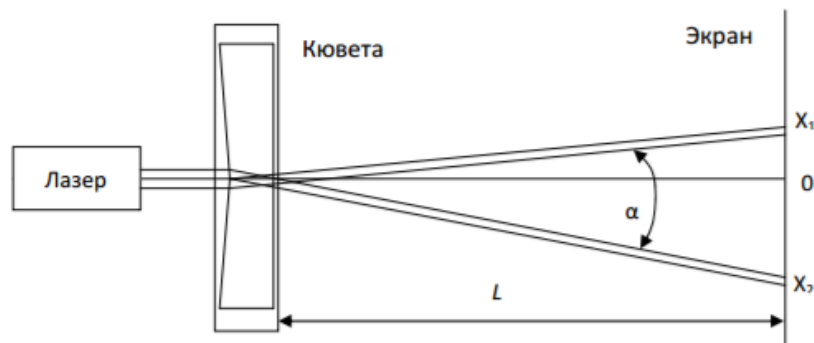


Рис.6

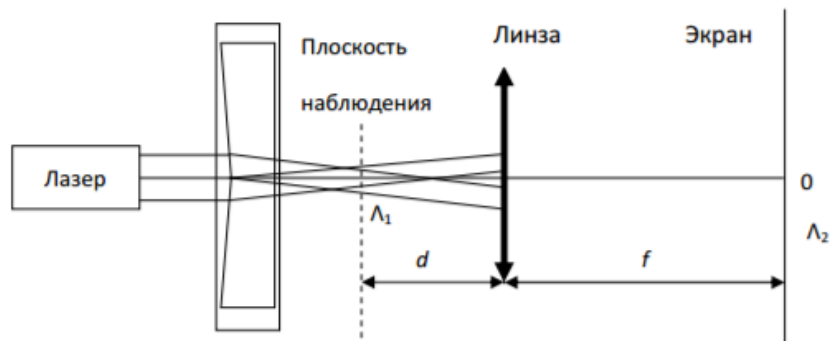


Рис.7

### Ход работы.

1. Соберём схему, изображённую на рис. 6. Расстояние между лазером и кюветой порядка 5-10 см (меняется от опыта к опыту). Измеряя расстояние  $x_1 + x_2$  и  $L$ , найдём угол  $\alpha$  по формуле (3). Результаты измерений приведены в таблице:

№	$x_1 + x_2$ , мм	$L$ , см	$\alpha$ , $10^{-3}$ рад	$\sigma_\alpha$ , $10^{-3}$ рад
1	3,5	87,8	4,0	0,6
2	3,5	87,3	4,0	0,6
3	4,0	89,3	4,5	0,6

При измерениях  $\sigma_{x_1+x_2} = 0.5\text{мм}$ , что и вносит в результат наибольшую погрешность. Возьмём среднее значение угла  $\alpha = (4,2 \pm 0,2) * 10^{-3}$  рад.

2. Поставим линзу ( $F=36\text{мм}$ ) между кюветой и экраном (см. рис. 7). При различном положении линзы измерим расстояние  $f$  от линзы до экрана и период  $\Lambda_2$  интерференционной картины на экране. Пользуясь формулой тонкой линзы рассчитаем расстояние  $d$  от линзы до плоскости наблюдения интерференционной картины, а также увеличение  $\Gamma$ . Наконец, зная  $\Gamma$  и  $\Lambda_2$  найдём  $\Lambda_1$  - период интерференционной картины в плоскости наблюдения. По формуле (1), при  $\lambda = 661\text{нм}$ , найдём угол  $\alpha$ . Результаты измерений и вычислений приведены в таблице:

№	f, см	$\Lambda_2$ , см	d, см	$\Gamma$	$\Lambda_1$ , мм	$\alpha, 10^{-3}$ рад
1	70,0	0,25	4,55	15,37	0,16	4,06
2	73,4	0,23	4,54	16,16	0,14	4,58
3	66,8	0,23	4,57	14,63	0,15	4,30

Относительная погрешность измерения  $\varepsilon_{\Lambda_2} = 4\%$ . Соответственно, такие же относительные погрешности у  $\Lambda_1$  и угла  $\alpha$ . По формуле среднего арифметического найдём погрешность среднего значения  $\alpha$ . Итак:

$$\alpha = (4,3 \pm 0,2) * 10^{-3}\text{рад}$$

Вычислив разными способами угол  $\alpha$  видим, что результаты в пределах погрешности совпадают.

3. Налейём в кювету воды и повторим измерения. Получилось  $f = 65,4\text{см}$ ,  $\Lambda_2 = 0,4\text{см}$ . Откуда  $d = 4,5\text{см}$ ,  $\Gamma = 14,3$ ,  $\Lambda_1 = 0,28\text{мм}$ ,  $\alpha = (2,4 \pm 0,1) * 10^{-3}\text{рад}$ .

Выражение для угла отклонения  $\delta$  получить из закона преломления:

$$n_{\text{ст}} \sin \beta = n_{\text{в}} \sin \gamma$$

$$n_{\text{в}} \sin(\gamma - \beta) = \sin \delta$$

$$\delta = n_{\text{в}} \beta \left( \frac{n_{\text{ст}}}{n_{\text{в}}} - 1 \right)$$

Пользуясь этим найдём выражения для угла расхождения пучков с водой и без.

$$\alpha_2 = \delta_1 + \delta_2 = (\beta_1 + \beta_2)(n_{\text{ст}} - n_{\text{в}})$$

$$\alpha_1 = (\beta_1 + \beta_2)(n_{\text{ст}} - 1)$$

Откуда находим  $n_{\text{ст}} = \frac{\alpha_2/\alpha_1 - n_{\text{в}}}{\alpha_2/\alpha_1 - 1} = 1,79 \pm 0,06$ . Тяжёлый флинт?

Среднее значение отклоняющего угла бипризмы

$$\beta_{\text{ср}} = (\beta_1 + \beta_2)/2 = \frac{\alpha_1}{n_{\text{ст}} - 1} = (5,3 \pm 0,2) * 10^{-3}\text{рад}$$